

研究内容の紹介 (20 分)

東京理科大学理学研究科 小林 穂乃香

山口大学面接 於
2022 年 9 月 5 日

擬リーマン多様体とは

g : M 上の対称 $(0, 2)$ テンソル場
 $X, Y \in TM$

(M, g) : リーマン多様体

g : M 上のリーマン計量
... 正定値

i. e. $g(X, X) \geq 0$ for all X , and
 $g(X, X) = 0 \Leftrightarrow X = 0$

擬リーマン多様体とは

g : M 上の対称 $(0, 2)$ テンソル場
 $X, Y \in TM$

(M, g) : リーマン多様体

g : M 上のリーマン計量
... 正定値

i. e. $g(X, X) \geq 0$ for all X , and
 $g(X, X) = 0 \Leftrightarrow X = 0$

(M, g) : 擬リーマン多様体

g : M 上の擬リーマン計量
... 非退化

i. e. $g(X, Y) = 0$ for all $Y \in TM$
 $\Rightarrow X = 0$

擬リーマン多様体とは

g : M 上の対称 $(0, 2)$ テンソル場
 $X, Y \in TM$

(M, g) : リーマン多様体

g : M 上のリーマン計量
... 正定値

i. e. $g(X, X) \geq 0$ for all X , and
 $g(X, X) = 0 \Leftrightarrow X = 0$

(M, g) : 擬リーマン多様体

g : M 上の擬リーマン計量
... 非退化

i. e. $g(X, Y) = 0$ for all $Y \in TM$
 $\Rightarrow X = 0$

$\mathbf{x} = (x_1, \dots, x_{m+1}), \mathbf{y} = (y_1, \dots, y_{m+1}) \in \mathbb{E}_s^{m+1} \quad \begin{cases} s = 0 : \text{リーマン多様体} \\ s = 1 : \text{ローレンツ多様体} \end{cases}$

$\langle \mathbf{x}, \mathbf{y} \rangle := - \sum_{i=1}^s x_i y_i + \sum_{j=s+1}^{m+1} x_j y_j \quad s : \text{指数}$

擬リーマン多様体とは

1905 特殊相対性理論 (A. Einstein)
この世界を, 空間 3 次元と時間 1 次元の"時空"として考える
正定値とは限らない計量を持つ多様体を導入

1908 ミンコフスキー幾何学 (H. Minkowski)
特殊相対性理論を幾何学として再構成
時空は 4 次元の空間として記述される

1915-1916 一般相対性理論 (A. Einstein)
重力を時空の曲がりとして捉える, リーマン幾何学を応用



擬リーマン幾何学

これまでの研究の概要

$(\tilde{M}, \langle, \rangle)$: 擬球面 \mathbb{S}_s^m または 擬双曲空間 \mathbb{H}_s^m

(M, \langle, \rangle) : \tilde{M} の擬リーマン曲面,

形作用素が対角化不可能, 平均曲率とスカラー曲率が一定

γ : \tilde{M} の null 曲線 i.e. $\langle \dot{\gamma}, \dot{\gamma} \rangle = 0$ かつ $\dot{\gamma} \neq 0$

これまでの研究の概要

$(\tilde{M}, \langle, \rangle)$: 擬球面 \mathbb{S}_s^m または 擬双曲空間 \mathbb{H}_s^m

(M, \langle, \rangle) : \tilde{M} の擬リーマン曲面,

形作用素が対角化不可能, 平均曲率とスカラー曲率が一定

γ : \tilde{M} の null 曲線 i.e. $\langle \dot{\gamma}, \dot{\gamma} \rangle = 0$ かつ $\dot{\gamma} \neq 0$

Part I ... 擬双曲的ガウス写像による分類

- B-scroll または complex circle の擬双曲的ガウス写像

これまでの研究の概要

$(\tilde{M}, \langle, \rangle)$: 擬球面 \mathbb{S}_s^m または 擬双曲空間 \mathbb{H}_s^m

(M, \langle, \rangle) : \tilde{M} の擬リーマン曲面,

形作用素が対角化不可能, 平均曲率とスカラー曲率が一定

γ : \tilde{M} の null 曲線 i.e. $\langle \dot{\gamma}, \dot{\gamma} \rangle = 0$ かつ $\dot{\gamma} \neq 0$

Part I ... 擬双曲的ガウス写像による分類

- B-scroll または complex circle の擬双曲的ガウス写像

Part II ... generalizations of B-scroll in \tilde{M}_s^m

- generalized umbilical hypersurface in \tilde{M}_1^{n+1}
- generalized umbilical hypersurface in \tilde{M}_2^{n+1}
- generalized B-scroll in \mathbb{S}_2^5 or \mathbb{H}_2^5

これまでの研究の概要

$(\tilde{M}, \langle, \rangle)$: 擬球面 \mathbb{S}_s^m または 擬双曲空間 \mathbb{H}_s^m

(M, \langle, \rangle) : \tilde{M} の擬リーマン曲面,

形作用素が対角化不可能, 平均曲率とスカラー曲率が一定

γ : \tilde{M} の null 曲線 i.e. $\langle \dot{\gamma}, \dot{\gamma} \rangle = 0$ かつ $\dot{\gamma} \neq 0$

Part I ... 擬双曲的ガウス写像による分類

- B-scroll または complex circle の擬双曲的ガウス写像

Part II ... generalizations of B-scroll in \tilde{M}_s^m

- generalized umbilical hypersurface in \tilde{M}_1^{n+1} ... 次元一般化
- generalized umbilical hypersurface in \tilde{M}_2^{n+1} ... 指数及び次元一般化
- generalized B-scroll in \mathbb{S}_2^5 or \mathbb{H}_2^5 ... 指数及び余次元一般化

Part I

擬双曲的ガウス写像による分類

部分多様体の平均曲率 H と部分多様体の type number の関係

- 1970 年代
 - $\Delta H = \lambda H$ となるリーマン部分多様体の type number
 - null 2-type かつ $H : \text{const}$ なローレンツ曲面の完全分類
- 1980 年代
 - 部分多様体のガウス写像の type number
- 2007 年
 - 球面にはめ込まれた部分多様体の球面的ガウス写像

部分多様体の平均曲率 H と部分多様体の type number の関係

- 1970 年代
- $\Delta H = \lambda H$ となるリーマン部分多様体の type number
 - null 2-type かつ $H : \text{const}$ なローレンツ曲面の完全分類
- 1980 年代
- 部分多様体のガウス写像の type number
- 2007 年
- 球面にはめ込まれた部分多様体の球面的ガウス写像

$\mathbf{x} : M \hookrightarrow \mathbb{S}^m$: 等長はめ込み

$(e_1^p, \dots, e_n^p) : M$ の向きと適合する $T_p M$ の正規直交フレーム

ガウス写像 $\nu \stackrel{\text{def}}{\Leftrightarrow} \nu := e_1^p \wedge \cdots \wedge e_n^p$

球面的ガウス写像 $\tilde{\nu} \stackrel{\text{def}}{\Leftrightarrow} \tilde{\nu} := \mathbf{x}(p) \wedge e_1^p \wedge \cdots \wedge e_n^p$

Theorem (D. S. Kim–Y. H. Kim)

$M_1^2 \subset \mathbb{S}_1^3$ (または \mathbb{H}_1^3) : 向きづけられたローレンツ超曲面

形作用素が対角化不可能 かつ H, K が一定



M_1^2 は *B-scroll* または *complex circle* どちらかの開部分

Theorem (D. S. Kim–Y. H. Kim)

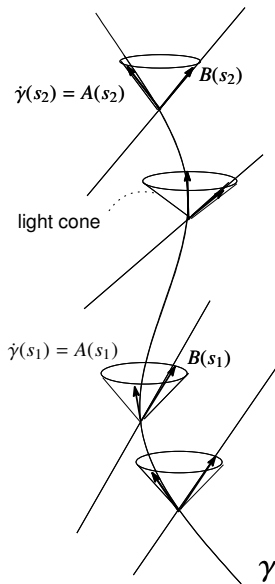
 $M_1^2 \subset \mathbb{S}_1^3$ (または \mathbb{H}_1^3) : 向きづけられたローレンツ超曲面形作用素が対角化不可能 かつ H, K が一定 M_1^2 は B -scroll または $complex\ circle$ どちらかの開部分

	M_1^2	$\tilde{\nu}$	K	H
in \mathbb{S}_1^3	(B–C–D 2017) $\mathcal{B}(k_2)$ B-scroll	null 2-type	$\neq 0$	$\neq 0$

Theorem (D. S. Kim–Y. H. Kim)

 $M_1^2 \subset \mathbb{S}_1^3$ (または \mathbb{H}_1^3) : 向きづけられたローレンツ超曲面形作用素が対角化不可能 かつ H, K が一定 M_1^2 は B -scroll または $complex\ circle$ どちらかの開部分

	M_1^2		$\tilde{\nu}$	K	H
in \mathbb{H}_1^3	(Main Result 1) $S_{\mathbb{C}}^1(\kappa)$ complex circle	$\kappa = -1$	1-type	0	0
		$\kappa \neq -1$	∞ -type	0	$\neq 0$
	(Main Result 2) $\mathcal{B}(k_2)$ B-scroll	$k_2 = \pm 1$	∞ -type	0	$\neq 0$
		$k_2 \neq \pm 1$	null 2-type	$\neq 0$	$\neq 0$
in \mathbb{S}_1^3	(B–C–D 2017) $\mathcal{B}(k_2)$ B-scroll		null 2-type	$\neq 0$	$\neq 0$



$\gamma : \mathbb{S}_1^3$ または \mathbb{H}_1^3 の null 曲線
(A, B, C) : γ 上の **Cartan frame field**

$$\text{i.e.} \quad \left\{ \begin{array}{l} \langle A, A \rangle = \langle B, B \rangle = 0, \quad \langle A, B \rangle = -1, \\ \langle A, C \rangle = \langle B, C \rangle = 0, \quad \langle C, C \rangle = 1, \\ \dot{\gamma}(s) = A(s), \\ \dot{A}(s) = k_1(s)C(s), \\ \dot{C}(s) = k_2(s)A(s) + k_1(s)B(s), \\ \dot{B}(s) = k_2(s)C(s) + \varepsilon\gamma(s). \end{array} \right.$$

$\gamma : \mathbb{S}_1^3$ または \mathbb{H}_1^3 の null 曲線
 $(A, B, C) : \gamma$ 上の **Cartan frame field**

$$\text{i.e.} \quad \left\{ \begin{array}{l} \langle A, A \rangle = \langle B, B \rangle = 0, \quad \langle A, B \rangle = -1, \\ \langle A, C \rangle = \langle B, C \rangle = 0, \quad \langle C, C \rangle = 1, \\ \dot{\gamma}(s) = A(s), \\ \dot{A}(s) = k_1(s)C(s), \\ \dot{C}(s) = k_2(s)A(s) + k_1(s)B(s), \\ \dot{B}(s) = k_2(s)C(s) + \varepsilon\gamma(s). \end{array} \right.$$

Definition

M を, 次のようにパラメータづけされたローレンツ曲面とする:

$$\mathbf{x} : M \hookrightarrow \mathbb{S}_1^3 \text{ or } \mathbb{H}_1^3 \stackrel{\text{def}}{\Leftrightarrow} \mathbf{x}(s, t) := \gamma(s) + tB(s)$$

このとき,

$$M : \gamma \text{ 上の } B\text{-scroll} \stackrel{\text{def}}{\Leftrightarrow} k_2 : \text{const}$$

$\gamma : \mathbb{S}_1^3$ または \mathbb{H}_1^3 の null 曲線
 $(A, B, C) : \gamma$ 上の **Cartan frame field**

$$\text{i.e.} \quad \left\{ \begin{array}{l} \langle A, A \rangle = \langle B, B \rangle = 0, \quad \langle A, B \rangle = -1, \\ \langle A, C \rangle = \langle B, C \rangle = 0, \quad \langle C, C \rangle = 1, \\ \dot{\gamma}(s) = A(s), \\ \dot{A}(s) = k_1(s)C(s), \\ \dot{C}(s) = \textcolor{red}{k}_2(s)A(s) + k_1(s)B(s), \\ \dot{B}(s) = \textcolor{red}{k}_2(s)C(s) + \varepsilon\gamma(s). \end{array} \right.$$

Definition

M を，次のようにパラメータづけされたローレンツ曲面とする：

$$\mathbf{x} : M \hookrightarrow \mathbb{S}_1^3 \text{ or } \mathbb{H}_1^3 \stackrel{\text{def}}{\Leftrightarrow} \mathbf{x}(s, t) := \gamma(s) + tB(s)$$

このとき，

$$M : \gamma \text{ 上の } \textcolor{red}{B}\text{-scroll} \stackrel{\text{def}}{\Leftrightarrow} \textcolor{red}{k}_2 : \text{const}$$

Part II

generalizations of B-scroll in \tilde{M}_2^m

\tilde{M}_1^{n+1} : ローレンツ多様体, $\dim \tilde{M} = n + 1$

M_1^n : \tilde{M}_1^{n+1} のローレンツ超曲面, $\dim M = n$

A : M_1^n の形作用素, 対角化不可能

Definition

M_1^n : *generalized umbilical hypersurface* $\stackrel{\text{def}}{\Leftrightarrow}$ A が 0 でない唯一の実固有値を持つ

A の最小多項式が $P(x) = (x - a)^2$ のとき, M_1^n を *degree 2 の generalized umbilical hypersurface* という ($a \in \mathbb{R} : \text{const}$).

Cartan frame (E. Cartan) : \mathbb{E}_1^3 における null 曲線に沿う
Frenet 型フレーム



一般次元ローレンツ多様体に拡張

general Frenet frame (K. L. Duggal–A. Bejancu)

Cartan frame (E. Cartan) : \mathbb{E}_1^3 における null 曲線に沿う
Frenet 型フレーム



一般次元ローレンツ多様体に拡張

general Frenet frame (K. L. Duggal–A. Bejancu)



よりシンプルな形に再構成

natural Frenet frame (D. H. Jin)



特殊なパラメータをとることでさらにシンプルに

Cartan frame (A. Ferrández–A. Giménez–P. Lucas)

Cartan frame (E. Cartan) : \mathbb{E}_1^3 における null 曲線に沿う
Frenet 型フレーム



一般次元ローレンツ多様体に拡張

general Frenet frame (K. L. Duggal–A. Bejancu)



よりシンプルな形に再構成

natural Frenet frame (D. H. Jin)



特殊なパラメータをとることでさらにシンプルに

Cartan frame (A. Ferrández–A. Giménez–P. Lucas)

- これらは構成の際に screen vector bundle などの概念が必要

Cartan frame (E. Cartan) : \mathbb{E}_1^3 における null 曲線に沿う
Frenet 型フレーム



一般次元ローレンツ多様体に拡張

general Frenet frame (K. L. Duggal–A. Bejancu)



よりシンプルな形に再構成

natural Frenet frame (D. H. Jin)



特殊なパラメータをとることでさらにシンプルに

Cartan frame (A. Ferrández–A. Giménez–P. Lucas)

- これらは構成の際に screen vector bundle などの概念が必要

一方, H. Kobayashi–N. Koike による構成方法は

- general Frenet frame を経由せず構成
- 高度な概念必要なし
- γ のパラメータに条件なし

Cartan frame (E. Cartan) : \mathbb{E}_1^3 における null 曲線に沿う
Frenet 型フレーム



一般次元ローレンツ多様体に拡張

general Frenet frame (K. L. Duggal–A. Bejancu)



よりシンプルな形に再構成

natural Frenet frame (D. H. Jin)



特殊なパラメータをとることでさらにシンプルに

Cartan frame (A. Ferrández–A. Giménez–P. Lucas)

- これらは構成の際に screen vector bundle などの概念が必要

一方, H. Kobayashi–N. Koike による構成方法は

- general Frenet frame を経由せず構成
- 高度な概念必要なし
- γ のパラメータに条件なし



- $s = 1$ のとき $\gamma : \tilde{M}_1^n$ の null 曲線, $A := \dot{\gamma}$.

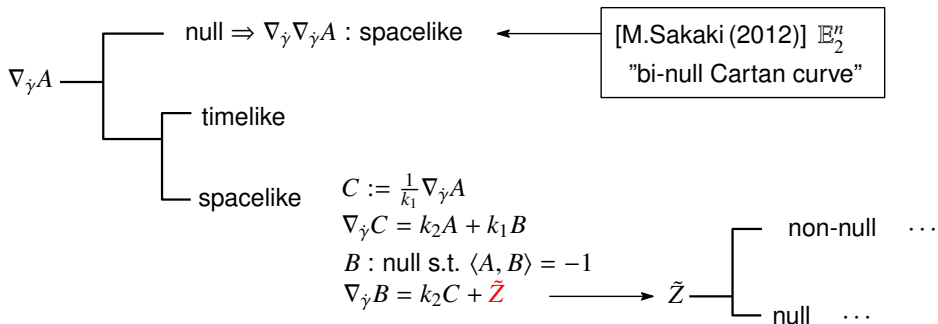
$$\begin{array}{lcl} \nabla_{\dot{\gamma}} A : \text{space like} & C := \frac{1}{k_1} \nabla_{\dot{\gamma}} A & \text{---} \nabla_{\dot{\gamma}} C = k_2 A + k_1 B \quad \text{---} \nabla_{\dot{\gamma}} B = k_2 C + \tilde{Z} \quad \dots \\ & B : \text{null s.t. } \langle A, B \rangle = -1 & \tilde{Z} : \text{spacelike} \end{array}$$

- $s = 1$ のとき $\gamma : \tilde{M}_1^n$ の null 曲線, $A := \dot{\gamma}$.

$$\nabla_{\dot{\gamma}} A : \text{space like} \quad C := \frac{1}{k_1} \nabla_{\dot{\gamma}} A \quad \text{---} \quad \nabla_{\dot{\gamma}} C = k_2 A + k_1 B \quad \text{---} \quad \nabla_{\dot{\gamma}} B = k_2 C + \tilde{Z} \quad \dots$$

$B : \text{null s.t. } \langle A, B \rangle = -1 \quad \quad \quad \tilde{Z} : \text{spacelike}$

- $s = 2$ のとき $\gamma : \tilde{M}_2^n$ の null 曲線, $A := \dot{\gamma}$.

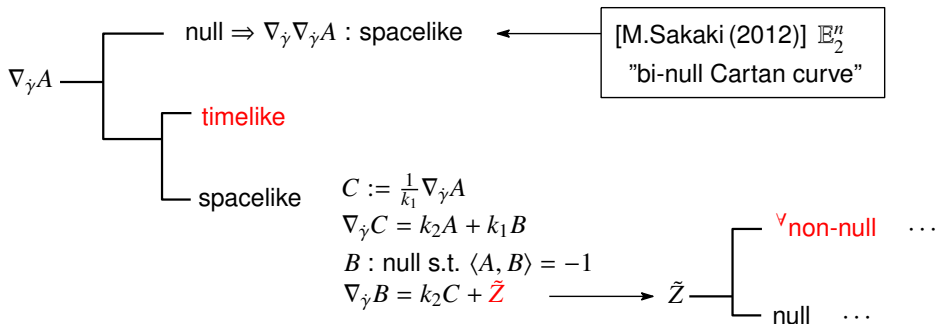


- $s = 1$ のとき $\gamma : \tilde{M}_1^n$ の null 曲線, $A := \dot{\gamma}$.

$$\nabla_{\dot{\gamma}} A : \text{space like} \quad C := \frac{1}{k_1} \nabla_{\dot{\gamma}} A \quad \text{---} \quad \nabla_{\dot{\gamma}} C = k_2 A + k_1 B \quad \text{---} \quad \nabla_{\dot{\gamma}} B = k_2 C + \tilde{Z} \quad \dots$$

$B : \text{null s.t. } \langle A, B \rangle = -1 \quad \quad \quad \tilde{Z} : \text{spacelike}$

- $s = 2$ のとき $\gamma : \tilde{M}_2^n$ の null 曲線, $A := \dot{\gamma}$.



Cartan frame (E. Cartan) : \mathbb{E}_1^3 における null 曲線に沿う

Frenet 型フレーム



一般次元ローレンツ多様体 M_1^n に拡張

general Frenet frame (K. L. Duggal–A. Bejancu)



よりシンプルな形に再構成

natural Frenet frame (D. H. Jin)

Cartan frame (E. Cartan) : \mathbb{E}_1^3 における null 曲線に沿う

Frenet 型フレーム



一般次元ローレンツ多様体 M_1^n に拡張

general Frenet frame (K. L. Duggal–A. Bejancu)



よりシンプルな形に再構成

natural Frenet frame (D. H. Jin)



指数 2 に拡張

natural Frenet frame with index 2 (K. L. Duggal–A. Bejancu–D. H. Jin)

Cartan frame (E. Cartan) : \mathbb{E}_1^3 における null 曲線に沿う

Frenet 型フレーム



一般次元ローレンツ多様体 M_1^n に拡張

general Frenet frame (K. L. Duggal–A. Bejancu)



よりシンプルな形に再構成

natural Frenet frame (D. H. Jin)



指数 2 に拡張

natural Frenet frame with index 2 (K. L. Duggal–A. Bejancu–D. H. Jin)

別証明

$\begin{cases} \nabla_{\dot{\gamma}} A : \text{non-null のとき, Cartan frame (H. Kobayashi)} \\ \nabla_{\dot{\gamma}} A : \text{null のとき, bi-null Cartan frame (M. Sakaki–A. Uçum–K. İlarıslan)} \end{cases}$

Cartan frame (E. Cartan) : \mathbb{E}_1^3 における null 曲線に沿う

Frenet 型フレーム



一般次元ローレンツ多様体 M_1^n に拡張

general Frenet frame (K. L. Duggal–A. Bejancu)



よりシンプルな形に再構成

natural Frenet frame (D. H. Jin)



指数 2 に拡張

natural Frenet frame with index 2 (K. L. Duggal–A. Bejancu–D. H. Jin)

別証明

$\left\{ \begin{array}{l} \nabla_{\dot{\gamma}} A : \text{non-null のとき, Cartan frame (H. Kobayashi)} \end{array} \right.$

$\left\{ \begin{array}{l} \nabla_{\dot{\gamma}} A : \text{null のとき, bi-null Cartan frame (M. Sakaki–A. Uçum–K. Ilarslan)} \end{array} \right.$

Main Result 4 (H. Kobayashi)

degree 2 の generalized umbilical hypersurface in \mathbb{S}_2^{n+1} or \mathbb{H}_2^{n+1} の具体例を構成

Theorem (D. S. Kim–Y. H. Kim–D. W. Yoon)

$M : \mathbb{E}_1^m$ の null scroll

$H : M$ の平均曲率ベクトル場

$A_H : M$ の H 方向の形作用素

Theorem (D. S. Kim–Y. H. Kim–D. W. Yoon)

$M : \mathbb{E}_1^m$ の null scroll

$H : M$ の平均曲率ベクトル場

$A_H : M$ の H 方向の形作用素

A_H の最小多項式が $(x - a^2)^2 \Rightarrow M : \text{generalized B-scroll}$
 $(a \in \mathbb{R} : \text{const})$

Theorem (D. S. Kim–Y. H. Kim–D. W. Yoon)

$M : \mathbb{E}_1^m$ の null scroll

※ M は 2 次元非退化ローレンツ線織面

$H : M$ の平均曲率ベクトル場

$A_H : M$ の H 方向の形作用素

$$M : \mathbf{x}(s, t) = \gamma(s) + tB(s)$$

\Updownarrow def

$$A_H \text{ の最小多項式が } (x - a^2)^2 \Rightarrow M : \text{generalized B-scroll}$$

$(a \in \mathbb{R} : \text{const})$

$\gamma \subset \mathbb{E}_1^m$ に沿う Cartan frame field

$$\begin{matrix} A \\ B \\ C \\ Z_1 \\ \vdots \\ Z_m \end{matrix} \begin{pmatrix} 0 & -1 & & & \\ -1 & 0 & & & \\ & & 1 & & \\ & & & \ddots & \\ & & & & 1 \end{pmatrix} \quad \text{and} \quad \begin{cases} \dot{A} = k_1 C \\ \dot{C} = k_2 A + k_1 B \\ \dot{B} = k_2 C + Z_1 \\ \dot{Z}_1 = k_3 A + k_4 Z_2 \\ \dot{Z}_2 = -k_4 Z_1 + k_5 Z_3 \\ \vdots \end{cases}$$

Theorem (D. S. Kim–Y. H. Kim–D. W. Yoon)

$M : \mathbb{E}_1^m$ の null scroll

※ M は 2 次元非退化ローレンツ線織面

$H : M$ の平均曲率ベクトル場

$A_H : M$ の H 方向の形作用素

$$M : \mathbf{x}(s, t) = \gamma(s) + tB(s)$$

$\Updownarrow \text{def}$

$$A_H \text{ の最小多項式が } (x - a^2)^2 \Rightarrow M : \text{generalized B-scroll} \\ (a \in \mathbb{R} : \text{const})$$

$$A_H \text{ の最小多項式が } (x - k_2^2)^2 \Leftarrow M : \text{generalized B-scroll}$$

$\gamma \subset \mathbb{E}_1^m$ に沿う Cartan frame field

$$\begin{matrix} A \\ B \\ C \\ Z_1 \\ \vdots \\ Z_m \end{matrix} \begin{pmatrix} 0 & -1 & & & \\ -1 & 0 & & & \\ & & 1 & & \\ & & & \ddots & \\ & & & & 1 \end{pmatrix} \text{ and } \begin{cases} \dot{A} = k_1 C \\ \dot{C} = k_2 A + k_1 B \\ \dot{B} = k_2 C + Z_1 \\ \dot{Z}_1 = k_3 A + k_4 Z_2 \\ \dot{Z}_2 = -k_4 Z_1 + k_5 Z_3 \\ \vdots \end{cases}$$

Theorem (D. S. Kim–Y. H. Kim–D. W. Yoon)

$M : \mathbb{E}_1^m$ の null scroll

※ M は 2 次元非退化ローレンツ線織面

$H : M$ の平均曲率ベクトル場

$A_H : M$ の H 方向の形作用素

$$M : \mathbf{x}(s, t) = \gamma(s) + tB(s)$$

$\Updownarrow \text{def}$

$$A_H \text{ の最小多項式が } (x - a^2)^2 \Rightarrow M : \text{generalized B-scroll} \\ (a \in \mathbb{R} : \text{const})$$

$$A_H \text{ の最小多項式が } (x - k_2^2)^2 \Leftarrow M : \text{generalized B-scroll}$$

$\gamma \subset \mathbb{E}_1^m$ に沿う Cartan frame field

$$\begin{matrix} A \\ B \\ C \\ Z_1 \\ \vdots \\ Z_m \end{matrix} \begin{pmatrix} 0 & -1 & & & \\ -1 & 0 & & & \\ & & 1 & & \\ & & & \ddots & \\ & & & & 1 \end{pmatrix} \quad \text{and} \quad \begin{cases} \dot{A} = k_1 C \\ \dot{C} = k_2 A + k_1 B \\ \dot{B} = k_2 C + Z_1 \\ \dot{Z}_1 = k_3 A + k_4 Z_2 \\ \dot{Z}_2 = -k_4 Z_1 + k_5 Z_3 \\ \vdots \end{cases}$$

Theorem (D. S. Kim–Y. H. Kim–D. W. Yoon)

$M : \mathbb{E}_1^m$ の null scroll

※ M は 2 次元非退化ローレンツ線織面

$H : M$ の平均曲率ベクトル場

$A_H : M$ の H 方向の形作用素

$$M : \mathbf{x}(s, t) = \gamma(s) + tB(s)$$

\Updownarrow def

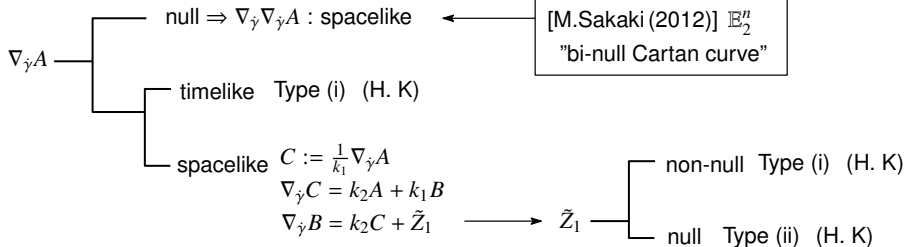
$$A_H \text{ の最小多項式が } (x - a^2)^2 \Rightarrow M : \text{generalized B-scroll} \\ (a \in \mathbb{R} : \text{const})$$

$$A_H \text{ の最小多項式が } (x - k_2^2)^2 \Leftarrow M : \text{generalized B-scroll}$$

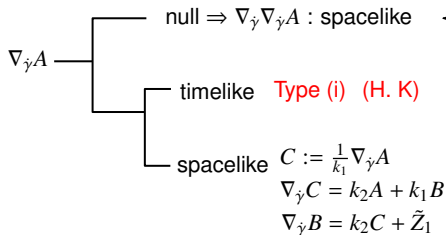
$\gamma \subset \mathbb{E}_1^m$ に沿う Cartan frame field

$$\begin{matrix} A \\ B \\ C \\ Z_1 \\ \vdots \\ Z_m \end{matrix} \begin{pmatrix} 0 & -1 & & & \\ -1 & 0 & & & \\ & & 1 & & \\ & & & \ddots & \\ & & & & 1 \end{pmatrix} \quad \text{and} \quad \begin{cases} \dot{A} = k_1 C \\ \dot{C} = k_2 A + k_1 B \\ \dot{B} = k_2 C + Z_1 \\ \dot{Z}_1 = k_3 A + k_4 Z_2 \\ \dot{Z}_2 = -k_4 Z_1 + k_5 Z_3 \\ \vdots \end{cases}$$

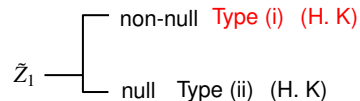
$\gamma : \tilde{M}_2^5$ の null 曲線, $A := \dot{\gamma}$.



$\gamma : \tilde{M}_2^5$ の null 曲線, $A := \dot{\gamma}$.



[M.Sakaki (2012)] \mathbb{E}_2^n
"bi-null Cartan curve"

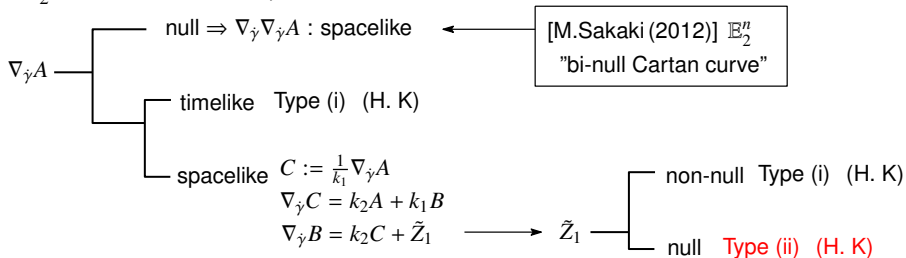


Type (i) (H. Kobayashi)

$$\begin{pmatrix} A \\ B \\ C \\ Z_1 \\ Z_2 \end{pmatrix} \begin{pmatrix} 0 & -1 & & & \\ -1 & 0 & & & \\ & & \varepsilon_C & \varepsilon_1 & \varepsilon_2 \end{pmatrix} \quad (1)$$

$$\begin{cases} \dot{A} = k_1 C \\ \dot{C} = k_2 A + \varepsilon_C k_1 B \\ \dot{B} = \varepsilon_C k_2 C + k_3 Z_1 + \varepsilon \gamma \\ \dot{Z}_1 = \varepsilon_1 k_3 A + k_4 Z_2 \\ \dot{Z}_2 = \varepsilon_C k_4 Z_1 \end{cases} \quad (2)$$

$\gamma : \tilde{M}_2^5$ の null 曲線, $A := \dot{\gamma}$.



Type (i) (H. Kobayashi)

$$\begin{pmatrix} A \\ B \\ C \\ Z_1 \\ Z_2 \end{pmatrix} \begin{pmatrix} 0 & -1 & & & \\ -1 & 0 & & & \\ & & \varepsilon_C & & \\ & & & \varepsilon_1 & \\ & & & & \varepsilon_2 \end{pmatrix} \quad (1)$$

$$\begin{cases} \dot{A} = k_1 C \\ \dot{C} = k_2 A + \varepsilon_C k_1 B \\ \dot{B} = \varepsilon_C k_2 C + k_3 Z_1 + \varepsilon \gamma \\ \dot{Z}_1 = \varepsilon_1 k_3 A + k_4 Z_2 \\ \dot{Z}_2 = \varepsilon_C k_4 Z_1 \end{cases} \quad (2)$$

Type (ii) (H. Kobayashi)

$$\begin{pmatrix} A \\ B \\ C \\ Z_1 \\ Z_2 \end{pmatrix} \begin{pmatrix} 0 & -1 & & & \\ -1 & 0 & & & \\ & & 1 & & \\ & & & 0 & -1 \\ & & & -1 & 0 \end{pmatrix} \quad (3)$$

$$\begin{cases} \dot{A} = k_1 C \\ \dot{C} = k_2 A + k_1 B \\ \dot{B} = k_2 C + Z_1 + \varepsilon \gamma \\ \dot{Z}_1 = h Z_1 \\ \dot{Z}_2 = -A - h Z_2 \end{cases} \quad (4)$$

Main Result 5 (H. Kobayashi)

γ : \mathbb{S}_2^5 or \mathbb{H}_2^5 の null 曲線

$(A, B, C, Z_1, Z_2) : \gamma$ に沿う \mathbb{S}_2^5 or \mathbb{H}_2^5 の Cartan frame field s.t. $k_2 : \text{const}$

Main Result 5 (H. Kobayashi)

γ : \mathbb{S}_2^5 or \mathbb{H}_2^5 の null 曲線

$(A, B, C, Z_1, Z_2) : \gamma$ に沿う \mathbb{S}_2^5 or \mathbb{H}_2^5 の Cartan frame field s.t. $k_2 : \text{const}$

M が次の条件を満たすとする：

- (*) $\begin{cases} M : \gamma \text{ と } \gamma \text{ に沿う Frenet 型フレーム場から構成される null scroll} \\ M : 2 \text{ 次元非退化ローレンツ線織面} \end{cases}$

Main Result 5 (H. Kobayashi)

γ : \mathbb{S}_2^5 or \mathbb{H}_2^5 の null 曲線

$(A, B, C, Z_1, Z_2) : \gamma$ に沿う \mathbb{S}_2^5 or \mathbb{H}_2^5 の Cartan frame field s.t. $k_2 : \text{const}$

M が次の条件を満たすとする：

- (*) $\begin{cases} M : \gamma \text{ と } \gamma \text{ に沿う Frenet 型フレーム場から構成される null scroll} \\ M : 2 \text{ 次元非退化ローレンツ線織面} \end{cases}$

$\Rightarrow M$ は $\mathbf{x}(s, t) = \gamma(s) + tB(s)$ によりパラメータづけされる.

Main Result 5 (H. Kobayashi)

γ : \mathbb{S}_2^5 or \mathbb{H}_2^5 の null 曲線

$(A, B, C, Z_1, Z_2) : \gamma$ に沿う \mathbb{S}_2^5 or \mathbb{H}_2^5 の Cartan frame field s.t. $k_2 : \text{const}$

M が次の条件を満たすとする：

- (*) $\begin{cases} M : \gamma \text{ と } \gamma \text{ に沿う Frenet 型フレーム場から構成される null scroll} \\ M : 2 \text{ 次元非退化ローレンツ線織面} \end{cases}$

$\Rightarrow M$ は $\mathbf{x}(s, t) = \gamma(s) + tB(s)$ によりパラメータづけされる.

さらに, A_H の最小多項式 $P(x)$ は

$$(i) \quad Z_1 : \text{non-null} \quad \Rightarrow \quad P(x) = (x - (\varepsilon_C k_2^2 + \varepsilon_1 k_3^2))^2,$$

$$(ii) \quad Z_1 : \text{null} \quad \Rightarrow \quad P(x) = (x - k_2^2)^2.$$

Main Result 5 (H. Kobayashi)

γ : \mathbb{S}_2^5 or \mathbb{H}_2^5 の null 曲線

$(A, B, C, Z_1, Z_2) : \gamma$ に沿う \mathbb{S}_2^5 or \mathbb{H}_2^5 の Cartan frame field s.t. $k_2 : \text{const}$

M が次の条件を満たすとする：

- (*) $\begin{cases} M : \gamma \text{ と } \gamma \text{ に沿う Frenet 型フレーム場から構成される null scroll} \\ M : 2 \text{ 次元非退化ローレンツ線織面} \end{cases}$

$\Rightarrow M$ は $\mathbf{x}(s, t) = \gamma(s) + tB(s)$ によりパラメータづけされる.

さらに, A_H の最小多項式 $P(x)$ は

$$(i) \quad Z_1 : \text{non-null} \quad \Rightarrow \quad P(x) = (x - (\varepsilon_C k_2^2 + \varepsilon_1 k_3^2))^2,$$

$$(ii) \quad Z_1 : \text{null} \quad \Rightarrow \quad P(x) = (x - k_2^2)^2.$$

つまり, \mathbb{S}_2^5 または \mathbb{H}_2^5 における generalized B-scroll は

(i), (ii) のどちらかである.